



# БИООРГАНИЧЕСКАЯ ХИМИЯ

том 2 \* № 6 \* 1976

УДК 547.9 : 542.953.2

## СИНТЕЗ ОЛИГО- И ПОЛИНУКЛЕОТИДОВ

ХII\*. СИНТЕЗ ДОДЕКАДЕЗОКСИРИБОНУКЛЕОТИДА, КОМПЛЕМЕНТАРНОГО УЧАСТКУ 47—58 ВАЛИНОВОЙ тРНК<sub>t</sub> ДРОЖЖЕЙ

*Берлин Ю. А., Бочарова Т. Н., Вульфсон А. Н.,  
Колосов М. Н., Коробко В. Г.*

*Институт биоорганической химии им. М. М. Шемякина  
Академии наук СССР, Москва*

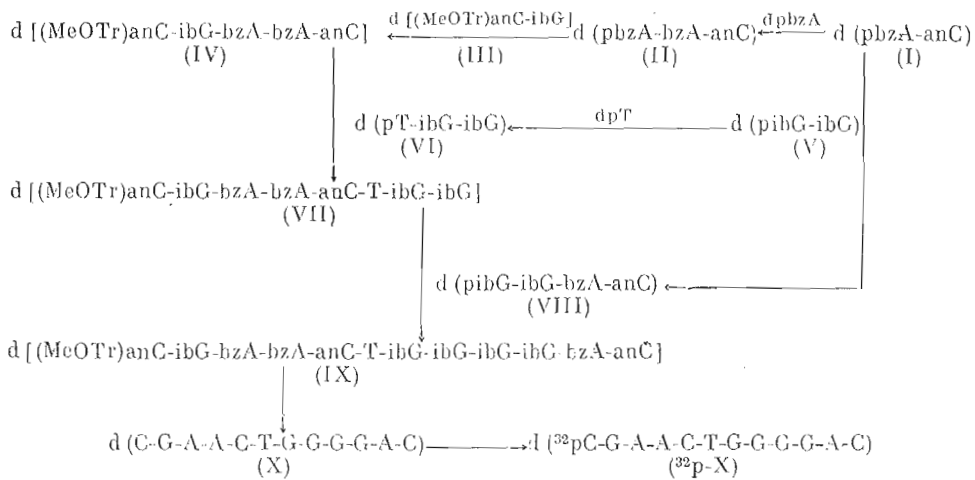
Осуществлен химический синтез додекануклеотида d(C-G-A-A-C-T-G-G-G-A-C), комплементарного участку 47—58 дрожжевой тРНК<sub>t</sub><sup>Val</sup>. В процессе синтеза нуклеотидная цепь наращивалась блоками в обе стороны: от 5'-конца к 3'-концу и в обратном направлении, от 3'-к 5'-концу. Синтезированный додекануклеотид образует устойчивый комплекс с сегментом 36—77 тРНК<sub>t</sub><sup>Val</sup>. Показана возможность многократного увеличения скорости анионообменной хроматографии при выделении и очистке синтезированных олигонуклеотидов.

Ранее мы описали химический синтез ундекануклеотида d(G-T-T-C-T-G-C-G-T-G-T), комплементарного участку 36—46 молекулы дрожжевой тРНК<sub>t</sub><sup>Val</sup> [1]. Настоящая работа посвящена получению смежного сегмента значащей цепи структурного гена этой тРНК — додекануклеотида d(C-G-A-A-C-T-G-G-G-A-C) (X), комплементарного участку 47—58 ее молекулы.

Схема построения этого сегмента (см. схему) заключалась в синтезе 5'-концевого пентануклеотидного фрагмента (IV) и затем его последовательном превращении в окта-(VII) и додекамер (IX). Наращивание олигонуклеотидной цепи на этих стадиях проводилось в направлении от 5'-к 3'-концу блочным методом с использованием избытка фосфатного компонента. Однако в ходе синтеза было обнаружено, что такая схема, традиционно используемая в олигонуклеотидном синтезе (см., например, [3]), не всегда оптимальна и во многих случаях лучшие результаты можно получить, применяя избыток не фосфатного, а гидроксильного компонента [4]. Если в синтезе использовать более доступные в дезоксириду 5'-фосфаты, то применение избытка гидроксильного компонента (при этом более короткого, чем фосфатный) означает обращение обычной схемы синтеза, т. е. наращивание нуклеотидной цепи в направлении от 3'-к 5'-концу. Именно таким способом мы синтезировали 5'-концевой пентануклеотид d[(MeOTr)anC-ibG-bzA-bzA-anC] (IV). Сначала взаимодействием d(CNEt)pbzA с dpanC(Ac) (молярное соотношение 1,2 : 1) был получен динуклеотид d(pbzA-anC) (I) с выходом 72%. В виде 3'-ацетата он был сконденсирован с избытком d(CNEt)pbzA, что привело к трипнуклеотиду

\* Сообщения X, XI см. [1, 2]. В статье использованы следующие нестандартные сокращения: ib — изобутирил, ТЕАВ — бикарбонат триэтиламмония.

d(pbzA-bzA-anC) (II) с выходом 69%. После ацетилирования этот трипуклеотид реакцией с d(MeOTr)anC-ibG] (III), взятым с 3,5-кратным избытком, был превращен в пентануклеотид (IV) с выходом 68%.



Аналогичный прием был использован и при получении тринуклеотида d(pT-ibG-ibG) (VI): в этом случае фосфорилируемый и фосфорилирующий компоненты, d(CNEt)pT и d<sup>32</sup>pibG(Ac), были взяты в соотношении 2,5 : 1, выход составил 49% (некоторое уменьшение выхода по сравнению с предыдущими конденсациями, вероятно, связано с понижением реакционной способностью фосфатного остатка в дезоксигуаниловой кислоте). В то же время при введении в конденсацию эквимолярных количеств соответствующим образом защищенных динуклеотидов d(pibG-ibG) и d(pbzA-anC) выход тетрануклеотида (VIII) составил лишь 33%. На заключительных стадиях синтеза использовали значительный избыток фосфатного компонента — 3—4-кратный избыток тринуклеотида d(pT-ibG-ibG) при получении октануклеотида (VII) и 7-кратный избыток тетрануклеотида (VIII) при его взаимодействии с октануклеотидом (VII), приводящем к образованию додекануклеотида (IX). Соединения (VII) и (IX) были получены с выходом 36%.

Выделение и очистку синтезированных олигонуклеотидов проводили с помощью ионообменной хроматографии на DEAE-целлюлозе или DEAE-сепадекс в градиенте концентрации TEAB. При выделении октануклеотида (VII) наиболее эффективным оказалось чередование хроматографии в TEAB с хроматографией в градиенте концентрации NaCl в 8 М нейтральном растворе мочевины (рис. 1). Кривая хроматографического разделения реакционной смеси при получении додекануклеотида (IX) представлена на рис. 2, а. Содержимое каждого из пиков последовательно хроматографировали в растворе мочевины, причем наиболее высокомолекулярную часть фракции I объединили с веществом из пика II, полученную смесь в свою очередь хроматографировали (рис. 2, б), додекануклеотидную фракцию из этой смеси объединили с пиком III и вновь хроматографировали (рис. 2, в).

Синтезированные олигонуклеотиды подвергали аммонолизу для удаления N-ацильных групп, а затем гидролизу уксусной кислотой для отщепления метокситритильного остатка и после экстракции соответствующих амидов и трифенилкарбинала органическими растворителями незащищенные олигонуклеотиды хроматографировали в 8 М мочевине (см., например, рис. 3, а). Последовательность удаления N-ацильных и 5'-метокситритильной защитных групп оказалось возможным изменить, не вызывая заметной апуринизации. Это позволяет дополнительно охарактеризовать

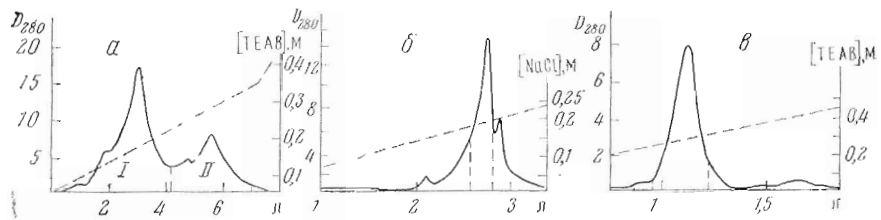


Рис. 1. Выделение октануклеотида (VII): *а* — хроматография реакционной смеси из опыта 6 на колонке с DEAE-целлюлозой ( $\text{HCO}_3^-$ ;  $3,2 \times 31$  см) в градиенте концентрации TEAB в 50%-ном спирте ( $0,05—0,22$  М, 4,2 л, затем  $0,22—0,35$  М, 3,2 л), фракции 20 мл/6 мин. Пик *I* содержит 18 700  $\text{OE}_{280}$  трипинуклеотида (VI) и пентануклеотида (IV) (38%), пик *II* — 11 350  $\text{OE}_{280}$  (36%) октануклеотида (VII); *б* — рехроматография 5600  $\text{OE}_{280}$  октануклеотида (VII) на колонке с DEAE-целлюлозой DE-52 ( $\text{Cl}^-$ ;  $1,6 \times 60$  см) в градиенте концентрации  $\text{NaCl}$  ( $0,025—0,25$  М, 3,6 л) в 8 М мочевине, 0,02 М три- $\text{HCl}$  (рН 7,5), фракции 20 мл/24 мин. Из фракций 129—140 выделили 1700  $\text{OE}_{280}$  октануклеотида (VII); *в* — повторная рехроматография 1200  $\text{OE}_{280}$  октануклеотида (VII) на колонке с DEAE-целлюлозой ( $\text{HCO}_3^-$ ;  $2,3 \times 25$  см) в градиенте концентрации TEAB в 50%-ном спирте ( $0,05—0,5$  М, 2 л), фракции 8,7 мл/5,2 мин. Из фракций 110—140 выделили 1000  $\text{OE}_{280}$  октануклеотида (VII)

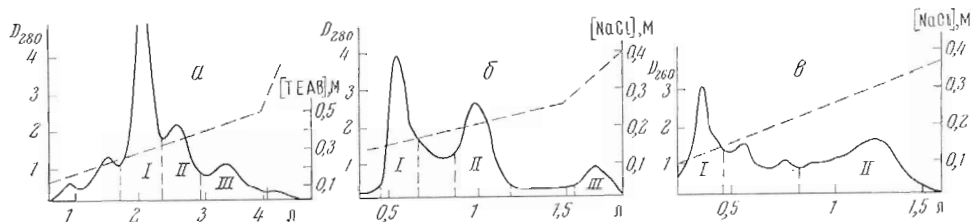


Рис. 2. Выделение додекануклеотида (IX): *а* — хроматография реакционной смеси из опыта 8 на колонке с DEAE-целлюлозой ( $\text{HCO}_3^-$ ;  $1,6 \times 60$  см) в градиенте концентрации TEAB в 50%-ном спирте ( $0,05—0,5$  М, 4 л), фракции 17 мл/5 мин. Пик *I* содержит 2340  $\text{OE}_{280}$  (тетрапинуклеотидная фракция), пик *II* — 800  $\text{OE}_{280}$  (октануклеотидная фракция), пик *III* — 930  $\text{OE}_{280}$  (додекануклеотидная фракция); *б* — рехроматография октануклеотидной фракции (800  $\text{OE}_{280}$ ) на колонке с DEAE-целлюлозой ( $\text{Cl}^-$ ;  $1,1 \times 80$  см) в градиенте концентрации  $\text{NaCl}$  ( $0,1—0,26$  М, 1,5 л, затем  $0,26—0,4$  М, 300 мл) в 8 М мочевине с 0,02 М три- $\text{HCl}$ , рН 7,5; фракции 8 мл/5,3 мин. Из фракций 185—208 (пик *III*) выделили 100  $\text{OE}_{280}$  додекануклеотида (IX); *в* — рехроматография додекануклеотидных фракций (930 + 100  $\text{OE}_{280}$ ) на колонке с DEAE-целлюлозой ( $\text{Cl}^-$ ;  $1,1 \times 80$  см) в градиенте концентрации  $\text{NaCl}$  ( $0,05—0,4$  М, 1,6 л) в 8 М мочевине и 0,02 М три- $\text{HCl}$  (рН 7,5), фракции 6 мл/9 мин. Из фракций 121—220 выделили 495  $\text{OE}_{280}$  (36%) додекануклеотида (IX)

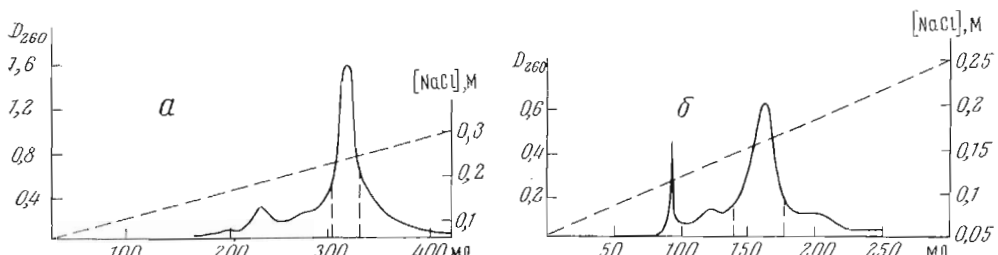


Рис. 3. Выделение додекануклеотида (X): *а* — хроматография реакционной смеси из опыта 9 на колонке с DEAE-целлюлозой ( $\text{Cl}^-$ ;  $0,28 \times 70$  см) в градиенте концентрации  $\text{NaCl}$  ( $0,05—0,45$  М, 700 мл) в 8 М мочевине и 0,02 М три- $\text{HCl}$  (рН 7,5), фракции 2,2 мл/10 мин. Из фракций 134—147 выделили 33  $\text{OE}_{280}$  додекануклеотида (X); *б* — рехроматография на колонке с DEAE-целлюлозой ( $\text{Cl}^-$ ;  $0,89 \times 16$  см) в 8 М мочевине, содержащей  $\text{HCl}$  (рН 3,5), в градиенте концентрации  $\text{NaCl}$  ( $0,05—0,25$  М, 300 мл); скорость 60 мл/ч. Из отмеченной части пика выделили 20  $\text{OE}_{280}$  додекануклеотида (X)

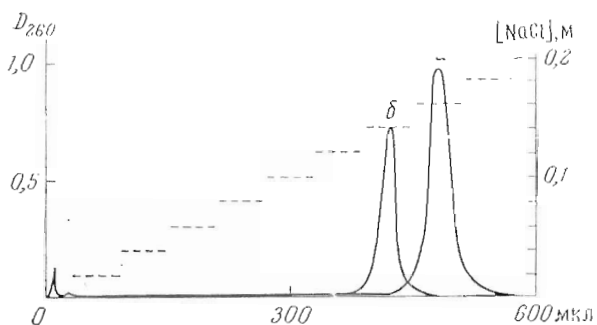


Рис. 4. Аналитическая микроколоночная хроматография додекануклеотида (X) на DEAE-целлюлозе ( $\text{Cl}^-$ ;  $0,8 \times 80$  мм) в ступенчатом градиенте концентрации  $\text{NaCl}$  в 7 М мочевине: *а* — с 0,02 М триплекс- $\text{HCl}$ ,  $\text{pH}$  7,0; *б* — с  $\text{HCl}$ ,  $\text{pH}$  3,5. Скорость 360 мкл/ч, регистрация с помощью МСФП-1

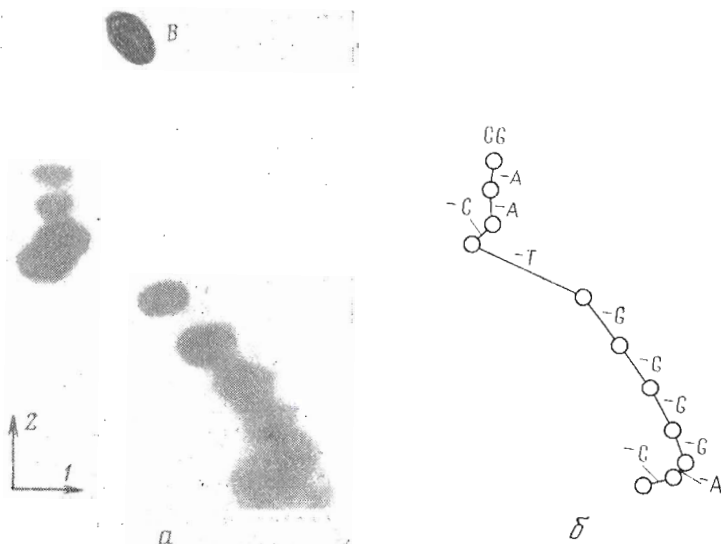


Рис. 5. Двухмерное разделение продуктов частичного экзонуклеазного гидролиза додекапуксогида ( $^{32}\text{P}$ -X) (опыт 10). В — пятно ксиленцианола FF. Направление 1 — электрофорез на ацетилцеллюлозе при  $\text{pH}$  3,5 (5000 В на полосе длиной 55 см), 2 — гомохроматография; *а* — радиоавтоматограмма, *б* — схема

соответствующие сегменты, а также использовать в олигонуклеотидном синтезе продукты детритилирования, содержащие N-защитные группы, в качестве гидроксильных компонентов.

Полученные олигонуклеотиды идентифицировали на основании их спектральных свойств и хроматографических характеристик, а также по данным полного экзонуклеазного гидролиза [5] (см. таблицу).

Дополнительную очистку незащищенного додекануклеотида (X) проводили с помощью анионообменной хроматографии в 8 М мочевине при пониженном значении  $\text{pH}$  (3,5), т. е. в условиях, делающих возможным более тонкое разделение олигонуклеотидов благодаря различной степени протонирования гетероциклических оснований (рис. 3, б). Чтобы избежать при этом апуринизации, хроматографию проводили с высокой скоростью, немедленно нейтрализуя объединяемые фракции водным аммиаком. Следует отметить, что вообще при синтезе олигонуклеотидов фосфодиэфирным методом большая часть времени тратится на ионообменную хроматографию, которая проводится обычно со скоростью 5—25 мл/ч на 1 см<sup>2</sup> сечения колонки. Мы нашли, что как при хроматографическом анализе олигонуклеотидов, так и при их препаративном разделении скорость элю-

Характеристики полученных олигонуклеотидов

| Олигонуклеотид                                     | $R_{dpT}$ |   | $\lambda_{\text{макс.}}$ , нм | Нуклеотидный состав |      |                 |                 |                 |
|--|-----------|---|-------------------------------|---------------------|------|-----------------|-----------------|-----------------|
|  | A         | B |                               | dG                  | dP   | dP <sub>G</sub> | dP <sub>A</sub> | dP <sub>C</sub> |
| d (pbzA-anC) (I)                                   | 1,03      |   | 285                           |                     |      |                 |                 |                 |
| d (pbzA-bzA-anC) (II)                              | 0,87      |   | 282                           |                     |      |                 |                 |                 |
| d [(MeOTr) anC-ibG] (III)                          | 2,02      |   | 260, 285                      |                     |      |                 |                 |                 |
| d [(MeOTr) anC-ibG-bzA-anC] (IV)                   | 1,71      |   | 283, 260*                     |                     |      |                 |                 |                 |
| d (pT-ibG-ibG) (V)                                 | 1,19      |   | 260, 280*                     |                     |      |                 |                 |                 |
| d [(MeOTr) anC-ibG-bzA-anC-T-ibG-ibG] (VI)         | 0,87      |   | 284, 260*                     |                     |      |                 |                 |                 |
| d (pibG-ibG-bzA-anC) (VII)                         | 0,66      |   | 264, 282                      |                     |      |                 |                 |                 |
| d [(MeOTr) anC-ibG-bzA-anC-T-ibG-ibG-ibG-anC] (IX) | 0,73      |   | 260, 280                      |                     |      |                 |                 |                 |
| d (pA-C)   | 0,22      |   | 262                           |                     |      |                 |                 |                 |
| d (pA-A-C)   | 1,58      |   | 260                           |                     |      |                 |                 |                 |
| d [(MeOTr) C-G]                                    | 1,77      |   | 233, 255*, 270*               |                     |      |                 |                 |                 |
| d (anC-ibG)  | 1,00      |   | 260, 285                      |                     |      |                 |                 |                 |
| d (C-G)  | 0,33      |   | 233, 270*                     | 1,1                 |      |                 |                 |                 |
| d [(MeOTr) C-G-A-A-C]                              | 0,33      |   | 259                           |                     |      |                 |                 |                 |
| d (anC-ibG-bzA-bzA-anC)                            | 1,17      |   | 283, 260*                     |                     |      |                 |                 |                 |
| d (C-G-A-A-C)                                      | 0,18      |   | 259                           | 1,05                |      |                 |                 |                 |
| d (pT-G-G)   | 0,39      |   | 254, 270*                     | 1,0                 | 1,05 |                 |                 |                 |
| d (C-G-A-A-C-T-G-G)                                | 0,09      |   | 258                           | 1,05                | 1,9  |                 |                 |                 |
| d (pG-G-A-C)                                       | 0,44      |   | 256                           | 1,05                | 2,7  | 1,9             |                 |                 |
| d (C-G-A-A-C-T-G-G-G-A-C) (X)                      |           |   | 257                           | 1,0                 | 2,0  | 1,4             |                 |                 |
|  |           |   |                               |                     | 5,25 | 3,3             |                 | 2,2             |

\* Плано.

ции может быть резко увеличена (до 200—500 мл/ч·см<sup>2</sup>) без заметного снижения разрешающей способности колонки. При этом в ряде случаев наблюдалось даже лучшее разделение компонентов смеси и лучшая воспроизведимость величины ионной силы, при которой происходит элюция вещества.

Индивидуальность конечного додекануклеотида (X) была доказана микроколоночной анионообменной хроматографией в градиенте концентрации NaCl в 7 М нейтральном и кислом растворах мочевины (рис. 4, а и б); аналогичные характеристики были получены и для всех промежуточных олигонуклеотидов. Далее, действием [ $\gamma$ -<sup>32</sup>P]ATP и полинуклеотидкиназы фага T4 додекануклеотид (X) был <sup>32</sup>P-фосфорилирован по 5'-гидроксилу, а затем подвергнут полному и частичному гидролизу фосфодиэстеразой змеиного яда. В смеси продуктов полного гидролиза единственным меченным нуклеотидом оказался dPc, что подтвердило природу 5'-концевого звена. Продукты частичного гидролиза были разделены электрофорезом на ацетилцеллюлозе и гомохроматографией на DEAE-целлюлозе во взаимно перпендикулярных направлениях; анализ полученной при этом нуклеотидной карты (рис. 5) в соответствии с эмпирическими правилами [6] подтвердил структуру нуклеотида (X).

Додекануклеотид (X) комплементарен рибонуклеотидной последовательности m<sup>7</sup>G-D-m<sup>5</sup>C-G-C-C-A-G-T-Ψ-C-G в положении 47—58 валиновой tРНК дрожжей, в связи с чем мы исследовали его гибридизацию с 3'-половиной (т. е. с сегментом 36—77) этой тРНК. С помощью хроматографии на сефадексе G-50 было показано, что отжиг эквимолярной смеси доде-

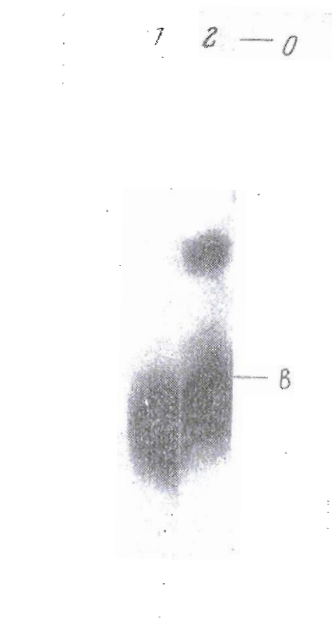


Рис. 6. Электрофорез в 15%-ном поликарбамидном геле в 0,01 М Mg(OAc)<sub>2</sub>, 0,001 М этилендиаминетрауксусной кислоте и 0,04 М трис-АсОН, pH 7,4 (0 — стартовая линия, В — положение пятна бромфенольного синего). 1 — додекануклеотид (<sup>32</sup>P-X), 3,5·10<sup>3</sup> имп/мин, 2 — комплекс нуклеотида (<sup>32</sup>P-X) с сегментом 36—77 тРНК<sub>1</sub><sup>Val</sup> (см. опыт 11а)

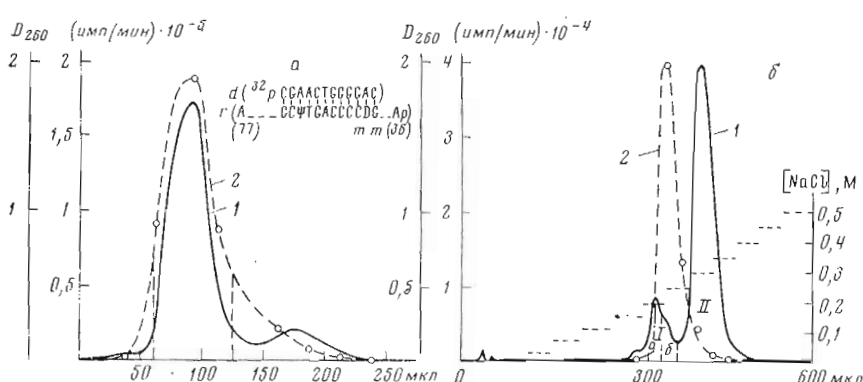


Рис. 7. Выделение комплекса додекануклеотида (<sup>32</sup>P-X) с 3'-половиной тРНК<sub>1</sub><sup>Val</sup> и его диссоциация: 1 — оптическая плотность, 2 — радиоактивность. а — хроматография реакционной смеси из опыта 11 б на колонке с сефадексом G-50 (сверхтонкий, 250 мкл) при 20° в 0,01 М  $\text{Mg}^{2+}$ , 0,001 М этилендиаминетрауксусной кислоте и 0,05 М трис-АсОН, pH 7,5; скорость 150 мкл/ч; б — хроматография вещества из основного пика рис. 7, а на колонке с DEAE-целлюлозой (Cl<sup>-</sup>; 0,8 × 80 мм) в 7 М мочевине и 0,02 М трис-HCl (pH 7,5) в градиенте концентрации NaCl. Пики Ia и Ib — соответствен-но додекануклеотиды (X) и (<sup>32</sup>P-X), пик II — сегмент 36—77 тРНК<sub>1</sub><sup>Val</sup>

кануклеотида ( $^{32}\text{p}$ -X) и 3'-половины тРНК приводит к включению радиоактивности в высокомолекулярную фракцию (рис. 7, а, см. также данные гель-электрофореза, рис. 6). При хроматографии этой фракции на DEAE-целлюлозе в денатурирующих условиях (рис. 7, б) наблюдаются дискретные пики, отвечающие радиоактивному додекануклеотиду ( $^{32}\text{p}$ -X) (вместе с 5'-нефосфорилированным нуклеотидом (X): соответственно пики I<sub>6</sub> и I<sub>a</sub>) и немеченному фрагменту тРНК (пик II). Таким образом, додекануклеотид (X) с 3'-половиной тРНК<sup>Val</sup> образует комплекс, который диссоциирует в денатурирующих условиях. Если к отожженной смеси додекануклеотида ( $^{32}\text{p}$ -X) и 3'-половины тРНК прибавить 5'-половину тРНК (ее сегмент 1—35) и полученный ассоциат использовать в качестве субстрата для валил-тРНК-сингетазы, то оказывается, что в этом случае аминомаскирование протекает вдвое хуже, чем при тестировании комплекса двух половин тРНК в присутствии додекануклеотида (X) (данные А. Д. Мирзабекова и О. В. Преображенской, ИМБ АН СССР, Москва). Эти результаты свидетельствуют о значительной устойчивости комплекса ( $^{32}\text{p}$ -X)·3'-половина тРНК<sup>Val</sup>, очевидно, вследствие высокого содержания цитозина и гуанина в додекапуклеотиде (X).

### Экспериментальная часть

Нуклеотиды использовались в виде пиридиниевых солей. Дезоксирибонуклеозид-5'-фосфаты (производства опытного химического цеха НИОХ СО АН СССР и СКТБ БАВ Главмикробиопрома, Новосибирск) для перевода в пиридиниевую форму пропускали в растворе 50%-ного водного пиридина через колонку с даузексом 50 (РуН<sup>+</sup>). Безводный пиридин для межнуклеотидных конденсаций получали из пиридина марки ч. д. а. последовательной перегонкой над KOH, тозилхлоридом, BaO и хранили над молекулярными ситами (4 Å), активированными в вакууме при 450°. Хроматографию на бумаге Ватман № 1 (длины полосы 30 см) проводили в восходящем потоке в системе 96% EtOH — 1 М AcONH<sub>4</sub>, 7 : 3, pH 7,5 (система А) или n-PrOH — конц. NH<sub>3</sub> — H<sub>2</sub>O, 11 : 2 : 7 (система Б). Цианетильные и ацетильные производные нуклеотидов получали, как описано ранее [7]. Продукты межнуклеотидных конденсаций выделяли ионообменной хроматографией на колонке с DEAE-целлюлозой DE-23 («Whatman») или DEAE-сефадексом А-25 («Pharmacia») в бикарбонатной форме (при 4°) или хлоридной форме (при 20°), используя в качестве элюента TEAB или NaCl в 8 М мочевине. Элюат, содержащий NaCl и мочевину, разбавляли водой в 3—4 раза, пропускали через колонку с DEAE-целлюлозой, соль и мочевину удаляли промыванием 0,05 М TEAB, после чего олигонуклеотиды элюировали 1 М TEAB. Полученный раствор вдвое разбавляли пиридином и упаривали в вакууме, полностью удаляя триэтиламин многократным упариванием с пиридином, а остаток после упаривания осаждали эфиrom из пиридина. Выход определяли в оптических единицах (1 ОЕ<sub>280</sub> вещества в 1 мл раствора дает при 280 нм оптическую плотность D<sub>1см</sub> = 1) и рассчитывали в процентах от теоретического по реагенту, взятому без избытка; при этом коэффициент молярной экстинкции олигонуклеотида принимали равным сумме коэффициентов экстинкций мононуклеотидов ( $\epsilon_{267}$  9600 для dрT,  $\epsilon_{302}$  22 430 для dрапC,  $\epsilon_{259}$  16 700 для dрibG и  $\epsilon_{280}$  18 300 для dрlyzA [8]).

N-Ацильные группы удаляли действием 25% NH<sub>3</sub> (1 мл на 10 ОЕ<sub>280</sub> олигонуклеотида, 15—20 ч при 50°), а для отщепления 5'-метокситритильной группы обрабатывали смесью AcOH — пиридин — вода, 14 : 1 : 3 (0,5 мл смеси на 10 ОЕ<sub>280</sub> олигонуклеотида, 48 ч при 20°). Нуклеотидный состав синтезированных соединений после удаления защитных групп определяли с помощью гидролиза фосфодиэстеразой змеиного яда (КФ 3.1.4.1), как описано ранее [5].

1. *d(pbzA-anC)* (*I*). Смесь 4,14 г (7,3 ммоль) *d*(CNEt)pbzA и 3,75 г (6,7 ммоль) *d*rapC(Ac) высушили 5-кратным упариванием с пиридином, растворили в 50 мл пиридина, прибавили 7,35 г (33,5 ммоль) мезитиленсульфохлорида, раствор упарили до объема 15 мл и оставили на 5 ч при 20°. При охлаждении до -20° прилили охлажденный раствор 8,8 мл триэтиламина в 14,2 мл пиридина, затем 80 мл воды, смесь выдержали 15 ч при 0°, обработали 200 мл 2 н. NaOH (20 мин при 20°) и нейтрализовали дауэксом 50 (РуН<sup>+</sup>). Смолу отфильтровали, промыли 1 л 50%-ного водного пиридина, фильтрат упарили до объема 200 мл и нанесли на колонку с DEAE-сепадексом (HCO<sub>3</sub><sup>-</sup>; 4,6 × 53 см), уравновешенную 0,05 М TEAB. Пиридин отмыли таким же буфером, после чего хроматографировали в линейном градиенте концентрации TEAB в 10%-ном спирте (0,05—0,35 М, 20 л), собирая фракции по 35 мл/12 мин. Из фракций 440—540 (0,28—0,33 М) выделили 132 000 ОЕ<sub>285</sub> (72%) динуклеотида (*I*), ε<sub>285/ε<sub>260</sub></sub> 1,57; ε<sub>285/ε<sub>302</sub></sub> 1,34. Возврат *d*pbzA 17%, *d*rapC 33%.

2. *d(pbzA-bzA-anC)* (*II*) получен взаимодействием 1,9 г (3,5 ммоль) *d*(CNEt)pbzA, 1,85 г (2 ммоль) *d*[pbzA-anC(Ac)] и 2,18 г (10 ммоль) мезитиленсульфохлорида в 20 мл пиридина (4 ч при 20°). К реакционному раствору при -10° прилили 60 мл 15%-ного водного пиридина, затем 100 мл 2 н. NaOH в 40%-ном водном спирте и обработали, как в опыте 1. Хроматографировали на колонке с DEAE-сепадексом (HCO<sub>3</sub><sup>-</sup>; 3,5 × 50 см; уравновешена 0,05 М TEAB в 5%-ном метаноле) в градиенте концентрации TEAB (2,5 л 0,05 М — 2,5 л 0,25 М, затем 0,6 л 0,25 М — 1,2 л 0,5 М), собирая фракции по 20 мл/9 мин. Из фракций 365—530 (0,36—0,5 М) выделили 73 700 ОЕ<sub>280</sub> (69%) тринуклеотида (*II*), ε<sub>280/ε<sub>260</sub></sub> 1,58; ε<sub>280/ε<sub>302</sub></sub> 1,58. Возврат *d*pbzA 20%, динуклеотида (*I*) 28%. Рекроматографию тринуклеотида (*II*) проводили на колонке (2,5 × 50 см) в линейном градиенте концентрации TEAB в 15%-ном спирте (0,15—0,4 М, 6 л, фракции 15 мл/9 мин); тринуклеотид выделен из фракций 290—370.

3. *d[(MeOTr)anC-ibG]* (*III*). Раствор 5,5 г (8,8 ммоль) *d*[(MeOTr)anC] [9], 3 г (5,4 ммоль) *d*pbzG(Ac) и 5,5 г (25,2 ммоль) мезитиленсульфохлорида в 30 мл пиридина выдержали 4 ч при 20°, затем при -10° последовательно обработали 7,5 мл триэтиламина в 20 мл пиридина и 30 мл воды, выдержали 15 ч при 0° и упарили. Остаток растворили в 200 мл 0,1 М TEAB и проэкстрагировали эфиром (4 × 400 мл) и хлороформом (3 раза, всего 1 л). Хлороформный экстракт упарили, остаток растворили в 50 мл спирта и 50 мл пиридина, охладили до 0°, прилили 130 мл 2 н. NaOH и оставили на 20 мин при 0°. Раствор нейтрализовали дауэксом 50 (РуН<sup>+</sup>), смолу отфильтровали, промыли 1 л 70%-ного пиридина и фильтрат упарили. Остаток растворили в 40 мл смеси хлороформ — пиридин (9 : 1) и нанесли на колонку с силикагелем для распределительной хроматографии («Woelm») (3,6 × 20 см), промытым такой же смесью растворителей. Хроматографировали в ступенчатом (по 0,5 л) градиенте концентрации метанола (3, 5, 10, 10, 15, 20, 30, 30%) в смеси хлороформ — пиридин при содержании пиридина в суммарной смеси 10%, анализируя фракции с помощью TCX на силикагеле. Вещество из фракций, содержащих 10, 15 и 20% метанола, рекроматографировало на колонке с DEAE-целлюлозой (HCO<sub>3</sub><sup>-</sup>; 2,8 × 60 см; уравновешена 0,02 М TEAB в 5%-ном метаноле) в линейном градиенте концентрации TEAB в 5%-ном метаноле (0,03 — 0,25 М, 4 л), а затем в 50%-ном спирте (0,02—0,25 М, 8 л), собирая фракции по 16 мл/10 мин. Из фракций 270—470 выделили 83 800 ОЕ<sub>260</sub> (52%) динуклеозидфосфата (*III*), ε<sub>280/ε<sub>250</sub></sub> 1,08; ε<sub>280/ε<sub>270</sub></sub> 1,06; ε<sub>280/ε<sub>300</sub></sub> 1,11.

4. *d[(MeOTr)anC-ibG-bzA-bzA-anC]* (*IV*) получен взаимодействием 2,8 г (2,7 ммоль) *d*[(MeOTr)anC-ibG], 1,1 г (0,75 ммоль) *d*[pbzA-bzA-anC(Ac)] и 0,8 г (4 ммоль) MS в 10 мл пиридина в условиях опыта 2. Хроматографировали на колонке с DEAE-целлюлозой (HCO<sub>3</sub><sup>-</sup>; 2,5 × 70 см; уравновешена 0,03 М TEAB в 5%-ном метаноле) в линейном градиенте концентрации TEAB в 5%-ном метаноле (0,05—0,4 М, 5,5 л), а затем в 50%-ном спирте

(0,01—0,4 М, 4 л), собирая фракции по 20 мл/12 мин. Из фракций 481—620 (0,14—0,25 М) выделили 43 400 ОЕ<sub>280</sub> (68%) пентануклеотида (IV), ε<sub>280/ε<sub>240</sub></sub> 1,41; ε<sub>280/ε<sub>270</sub></sub> 1,17; ε<sub>280/ε<sub>300</sub></sub> 1,26. Возврат тринуклеотида (II) 28%, динуклеозидфосфата (III) 80%.

5. *d(pT-ibG-ibG)* (*VI*) получен взаимодействием 1,5 г (3,7 ммоль) d(CNEt)pT, 1,4 г (1,5 ммоль) d[ribG-ibG(Ac)] [10] и 1,7 г (7,85 ммоль) мезитиленсульфохлорида в 20 мл пиридина (5 ч при 20°). После обработки, как в опыте 2, хроматографировали на колонке с DEAE-сепадексом (HCO<sub>3</sub><sup>-</sup>; 2,3 × 65 см) в градиенте концентрации TEAB (0,05—0,25 М, 4 л, затем 2 л 0,25 М), собирая фракции по 20 мл/6,5 мин. Из фракций 210—300 (0,25 М) выделили 31 300 ОЕ<sub>280</sub> (49%) тринуклеотида (VI) (ср. [11]), ε<sub>280/ε<sub>240</sub></sub> 2,27; ε<sub>280/ε<sub>250</sub></sub> 1,23; ε<sub>280/ε<sub>280</sub></sub> 1,43. Возврат динуклеотида (V) 20%.

6. *d[(MeOTr)anC-ibG-bzA-bzA-anC-T-ibG-ibG]* (*VII*) получен взаимодействием 0,8 г (0,27 ммоль) пентануклеотида (IV), 1,07 г (0,86 ммоль) d[pT-ibG-ibG(Ac)] и 0,9 г (4,3 ммоль) мезитиленсульфохлорида в 15 мл пиридина (5 ч при 20°) с последующей обработкой в условиях опыта 2. Результаты хроматографии приведены на рис. 1. Выход октануклеотида (VII) 36%, ε<sub>280/ε<sub>250</sub></sub> 1,30; ε<sub>280/ε<sub>270</sub></sub> 1,09; ε<sub>280/ε<sub>300</sub></sub> 1,50. Суммарный возврат пентануклеотида (IV) и тринуклеотида (VI) 66%.

7. *d(ribG-ibG-bzA-anC)* (*VIII*) получен взаимодействием 0,83 г (0,9 ммоль) d[(CNEt)ribG-ibG)], 0,89 г (0,9 ммоль) d[ribA-anC(Ac)] и 1,35 г (4,5 ммоль) триизопропилбензолсульфохлорида в 10 мл пиридина (12 ч при 20°). После обработки, как в опыте 2, смесь хроматографировали на колонке с DEAE-сепадексом (HCO<sub>3</sub><sup>-</sup>; 2,3 × 45 см) в линейном градиенте концентрации TEAB в воде (0,1—0,5 М, 4 л), собирая фракции по 20 мл/5 мин. Из фракций 130—180 (0,36—0,45 М) выделили 17 800 ОЕ<sub>280</sub> (33%) тетрануклеотида (VIII), ε<sub>280/ε<sub>250</sub></sub> 1,19; ε<sub>280/ε<sub>270</sub></sub> 1,06; ε<sub>280/ε<sub>300</sub></sub> 1,49. Возврат динуклеотида (V) 22%, динуклеотида (I) 39%. Часть тетрануклеотида (VIII) (13 000 ОЕ<sub>280</sub>) рехроматографировали на колонке с DEAE-сепадексом (HCO<sub>3</sub><sup>-</sup>; 2,3 × 20 см) в линейном градиенте концентрации TEAB (0,15—0,5 М, 2,4 л), собирая фракции по 20 мл/5 мин. Из фракций 66—81 (0,34—0,38 М) выделили 7500 ОЕ<sub>280</sub>.

8. *d[(MeOTr)anC-ibG-bzA-bzA-anC-T-ibG-ibG-ibG-ibG-bzA-anC]* (*IX*) получен взаимодействием 950 ОЕ<sub>280</sub> (8,3 мкмоль) октануклеотида (VII), 3500 ОЕ<sub>280</sub> (60 мкмоль) 3'-ацетата тетрануклеотида (VIII) и 0,16 г (0,72 ммоль) мезитиленсульфохлорида в 5 мл пиридина (4,5 ч при 20°). После обработки, как в опыте 2, смесь хроматографировали на колонке с DEAE-целлюлозой (см. рис. 2). Выход додекануклеотида (IX) 36%, ε<sub>260/ε<sub>240</sub></sub> 1,30; ε<sub>260/ε<sub>250</sub></sub> 1,10; ε<sub>260/ε<sub>280</sub></sub> 1,05. Возврат октануклеотида 48%, тетрануклеотида (VIII) 60%.

9. *d(C-G-A-A-C-T-G-G-G-A-C)* (*X*). 80 ОЕ<sub>260</sub> додекануклеотида (IX) в 10 мл 25% NH<sub>3</sub> нагревали 15 ч при 50°, упарили, к остатку прилили 10 мл смеси AcOH — пиридин — вода (14 : 1 : 3), выдержали 48 ч при 20° и вновь упарили. Остаток растворили в 10 мл воды и проэкстрагировали этилацетатом (3 × 10 мл). Вещество из водного слоя хроматографировали на колонке с DEAE-целлюлозой (рис. 3). Выделили 20 ОЕ<sub>260</sub> додекануклеотида (X), ε<sub>260/ε<sub>240</sub></sub> 1,43; ε<sub>260/ε<sub>250</sub></sub> 1,04; ε<sub>260/ε<sub>280</sub></sub> 1,72.

10. *d(<sup>32</sup>pC-G-A-A-C-T-G-G-G-A-C)* (*<sup>32</sup>p-X*) и его фосфодиэстеразный гидролиз. 5'-Меченный додекануклеотид (*<sup>32</sup>p-X*) получен из 0,75 нмоль немеческого додекануклеотида (X) и 1 нмоль [ $\gamma$ -<sup>32</sup>P]ATP (10 Ки/ммоль) в описанных ранее условиях [1]. Для проведения полного гидролиза <sup>32</sup>P-додекануклеотид (*<sup>32</sup>p-X*) (10<sup>4</sup> имп/мин) в 5 мкл буфера, содержащего 0,01 М трис-HCl (рН 8,9) и 0,005 М MgCl<sub>2</sub>, и 0,5 мкг фосфодиэстеразы змеиного яда («Worthington») в 5 мкл того же буфера инкубировали 2 ч при 37°, после чего гидролизат нанесли на бумагу Ватман № 1 и подвергли электрофорезу в пиридин-ацетатном буфере, рН 3,5 (5000 В, 1 ч). Для проведения частичного гидролиза к каждой из трех порций раствора додекануклеотида (*<sup>32</sup>p-X*) (1 мкл, 7,5 · 10<sup>4</sup> имп/мин) в указанном выше буфере,

pH 8,9, прибавили 1 мкл раствора фосфодиэстеразы (концентрация соответственно 50, 100 и 200 мкг/мл), смеси инкубировали 30 мин при 20°, все три порции смешали и подвергли электрофорезу на ацетилцеллюзопленке, а затем гомохроматографии (гомосмесь VI [12]) в ранее описанных условиях [1]. Результаты опыта представлены на рис. 5.

11. Комплекс додекануклеотида ( $^{32}P$ -X) с сегментом 36—77 тРНК<sub>i</sub><sup>Val</sup>.

а) Раствор 30 пмоль сегмента 36—77 дрожжевой тРНК<sub>i</sub><sup>Val</sup> и 60 пмоль ( $4,5 \cdot 10^5$  имп/мин) нуклеотида ( $^{32}P$ -X) в 10 мкл буфера, содержащего 0,01 М Mg(OAc)<sub>2</sub>, 0,001 М этилендиаминтетрауксусную кислоту и 0,04 М трис-АсOH, pH 7,4, нагревали 10 мин при 80°, затем постепенно охладили до 4° и выдержали при этой температуре 14 ч. Далее прибавили 5 мкл 0,1%-ного раствора бромфенолового синего в 20%-ной сахарозе в буфере с pH 7,4 (см. выше) и полученную смесь нанесли на блок 15%-ного полиакриламидного геля ( $20 \times 20$  см), заполимеризованного в том же буфере. Электрофорез вели при 200 В (20 мА) в течение 14 ч при 4°, после чего проводили авторадиографию на рентгеновской пленке PT-1 в течение 8 ч (рис. 6).

б) Смесь 90 пмоль сегмента 36—77 тРНК<sub>i</sub><sup>Val</sup> и 90 пмоль додекануклеотида ( $^{32}P$ -X) ( $2 \cdot 10^5$  имп/мин) в 25 мкл буфера, содержащего 0,01 М MgCl<sub>2</sub>, 0,001 М этилендиаминтетрауксусную кислоту и 0,05 М трис-АсOH, pH 7,5, нагревали 3 мин при 100°, медленно охладили до 2° и через 14 ч нанесли на колонку с сефадексом G-50 (сверхтонкий,  $0,8 \times 450$  мм), уравновешенную тем же буфером. Хроматографировали при 2°, собирая фракции по 30 мкл/12 мин (рис. 7, а). Фракции, содержащие комплекс, объединили, вдвое разбавили водой и нанесли на колонку с DEAE-целлюлозой (Cl<sup>-</sup>;  $0,8 \times 80$  мм). Колонку промыли 150 мкл 0,01 М трис-HCl, pH 7,5, в 7 М мочевине, после чего хроматографировали при 25° в ступенчатом градиенте концентрации NaCl в 7 М мочевине (0,0—0,5 М, 600 мкл), собирая фракции по 30 мкл/6 мин (рис. 7, б).

Авторы выражают благодарность М. Ф. Шемякину и А. В. Честухину (Москва) за препарат Т4-полинуклеотидкиназы и А. Д. Мирзабекову (Москва) за образец 3'-половины дрожжевой тРНК<sub>i</sub><sup>Val</sup>.

#### ЛИТЕРАТУРА

- Берлин Ю. А., Ефимов В. А., Колосов М. Н., Коробко В. Г. (1976) Биоорган. химия, 2, 166—178.
- Berlin Yu. A., Chakhamkacheva O. G., Efimov V. A., Shingarova L. N. (1975) Nucleic Acids Research, Special Publication No 1, s105—s108.
- Agarwal K. L., Yamazaki A., Cashion P. J., Khorana H. G. (1972) Angew. Chemie, 84, 489—498.
- Берлин Ю. А., Вульфсон А. И., Колосов М. Н. (1975) Биоорган. химия, 1, 851 — 852.
- Берлин Ю. А., Дьяков В. Л., Колосов М. Н. (1974) Биохимия, 39, 747—751.
- Sanger F. (1973) in Virus Research (Fox C. F., Robinson W. S., eds.), pp. 573—599, Acad. Press, New York — London.
- Weimann G., Khorana H. G. (1962) J. Amer. Chem. Soc., 84, 419—430.
- Kumar A., Khorana H. G. (1969) J. Amer. Chem. Soc., 91, 2743—2749.
- Kumar A., Otsuka E., Khorana H. G. (1972) J. Mol. Biol., 72, 289—307.
- Берлин Ю. А., Болдырева Е. Ф., Ефимов В. А., Колосов М. Н., Коробко В. Г., Полякова И. А. (1973) Химия природн. соедин., 402—410.
- Берлин Ю. А., Ефимов В. А., Колосов М. Н., Коробко В. Г., Чахмакчева О. Г., Шингарова Л. Н. (1975) Биоорган. химия, 1, 1121—1129.
- Jay E., Bambara R., Padmanabhan R., Wu R. (1974) Nucleic Acids Research, 1, 331—353.

Поступила в редакцию  
22.XII.1975

SYNTHESIS OF OLIGO- AND POLYNUCLEOTIDES. XII. THE SYNTHESIS  
OF THE DODECADEOXYRIBONUCLEOTIDE COMPLEMENTARY  
TO THE 47-58 SEGMENT OF YEAST tRNA<sub>f</sub><sup>Val</sup>

BERLIN Yu. A., BOCHAROVA T. N., WULFSON A. N.,  
KOLOSOV M. N., KOROBKO V. G.

*M. M. Shemyakin Institute of Bioorganic Chemistry,  
Academy of Sciences of the USSR, Moscow*

The chemical synthesis of the dodecadeoxyribonucleotide d(C-G-A-A-C-T-G-G-G-A-C) (X) complementary to the 47-58<sub>j</sub> segment of yeast tRNA<sub>f</sub><sup>Val</sup> has been carried out according to the 5'+3'+4 scheme. The 5'-terminal pentanucleotide was synthesized by the reverse traditional pathway, i. e. in the 5'→3' direction. Spectral and chromatographic properties and complete exonuclease digestion were used for identification of the compounds obtained. The primary structure of the final dodecanucleotide has been proved by fingerprinting of the products of partial exonuclease digestion of dodecanucleotide (<sup>32</sup>p-X) prepared from (X) by 5'-<sup>32</sup>P-phosphorylation with [ $\gamma$ -<sup>32</sup>P]ATP and T4-polynucleotide kinase. Complex formation of (<sup>32</sup>p-X) with the 3'-half of tRNA<sub>f</sub><sup>Val</sup> was demonstrated by gel chromatography and disc electrophoresis. It was shown that the flow rate in ion-exchange chromatography on DEAE-cellulose and DEAE-Sephadex could be considerably increased (up to 200-500 ml·cm<sup>-2</sup>·h<sup>-1</sup>) without noticeable loss in resolution.

---